

## بررسی کشش آب ساکن در ناحیه‌ی غوطه‌وری جریان‌های غلیظ

داریوش کرمی چمه<sup>۱\*</sup>، سید حسن گلمایی<sup>۲</sup>، علی شاهنظری<sup>۳</sup>، الهه حسینیان<sup>۴</sup>

(۱) کارشناس، شرکت مهندسی مشاور دزآب، اهواز، خوزستان، ایران.

(۲) دانشیار، دانشگاه علوم کشاورزی و منابع طبیعی ساری، ایران.

(۳) استادیار، دانشگاه علوم کشاورزی و منابع طبیعی ساری، ایران.

(۴) دانش آموخته کارشناسی ارشد، دانشگاه شهید چمران، گروه سازه‌های آبی، اهواز، ایران.

\*نویسنده مسئول: Kdariush44@yahoo.com

تاریخ پذیرش: ۹۱/۳/۸

تاریخ دریافت: ۹۰/۱۲/۲۵

### چکیده

بررسی نحوه تأثیر متقابل کیفیت آب رودخانه بر دریاچه‌ها و مخازن سدها بر هم‌دیگر از جنبه‌ی بهره برداری حائز اهمیت است. هنگام ورود آب یک رودخانه با چگالی متفاوت به دهانه یک دریاچه یا مخزن یک سد به دلیل اختلاف چگالی پدیده‌ی جریان غلیظ زیرین اتفاق می‌افتد، بنابراین شناخت آرایه‌های مختلف این پدیده در بررسی روند فرسایش و رسوب گذاری و مدیریت آن در مخازن سدها ضروری به نظر می‌رسد. یکی از آرایه‌های مهم در پدیده جریان غلیظ، کشش آب ساکن توسط جریان غلیظ می‌باشد. در تحقیق حاضر کشش در ناحیه‌ی غوطه‌وری این جریان‌ها، تحت تأثیر غلظت جریان ورودی، شبکه کف، دبی ورودی و ارتفاع آب ساکن توسط مدل فیزیکی مورد تحقیق قرار گرفته است. آزمایش‌ها در یک فلوم با طول ۹/۷۵ متر و عرض ۵۰ سانتیمتر و ارتفاع ۸۰ سانتیمتر در سه شبکه و چهار غلظت با دبی متفاوت انجام شدند. نتایج آزمایش‌ها حاکی از تأثیر مستقیم شبکه کف بر میزان کشش آب ساکن در ناحیه غوطه‌وری می‌باشد.

**واژه‌های کلیدی:** جریان غلیظ، ناحیه‌ی غوطه‌وری، عدد ریچاردسون، کشش آب ساکن، مدل فیزیکی.

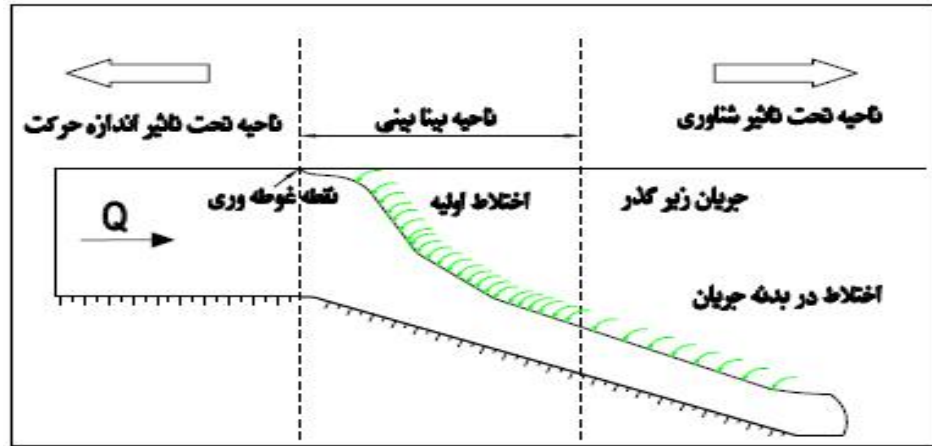
## مقدمه

معضل رسوب‌گذاری همواره به عنوان مهم‌ترین عامل کوتاه کردن عمر مفید سدها مطرح است و سدهای مخزنی زیادی بدليل پرشدن از رسوب، متروکه شده‌اند. این مشکل به ویژه در مناطق استوائی و نیمه‌خشک به علت بالابودن بده جریان رسوب مشهودتر به نظر می‌رسد. اهمیت افزایش عمر مفید سدها و حفظ حجم ذخیره آن‌ها برای تداوم کنترل و بهره‌برداری از منابع آب، به عنوان موضوعی مهم در علم مهندسی سدسازی مطرح می‌باشد. در حال حاضر بیشتر کارهای مدیریتی رسوب به طور کلی بر روی کنترل فرسایش متتمرکز شده است. گرچه انجام این فعالیتها لازم و ضروری به نظر می‌رسد، اما به تنها نمی‌تواند برای نیل به اهدافی مانند حفظ تعادل رسوب و نگهداری دراز مدت حجم ذخیره مخزن کافی باشد. بنابراین با توجه به اهمیت مسئله مدیریت پایای مخزن، لازم است حجم ذخیره مفید مخزن را که به وسیله انباشت رسوبات از دست می‌رود از طریق روش‌های رسوب زدایی حفظ و بازیافت گردد و یا این که با شناخت فرایند رسوب‌گذاری از انجام آن جلوگیری به عمل آید. یکی از مهم‌ترین پدیده‌ها در رسوب گذاری در مخازن و نیز فرسایش کف در مخازن و در دریاها و اقیانوس‌ها جریان‌های غلیظ است که باید تأثیر این جریان‌ها در فرایند رسوب‌گذاری مخازن شناسایی شده و با شناخت پارامترهای مختلف این جریان نسبت به مدیریت رسوب مخازن اقدامات موثر را انجام داد.

به طور کلی می‌توان گفت جریان‌های غلیظ جریان‌هایی هستند که در اثر اختلاف در جرم مخصوص دو سیال به وجود می‌آیند. به عبارت دیگر زمانی که یک سیال با جرم مخصوص ( $\rho \pm \delta\rho$ ) به درون یک توده سال ساکن با جرم مخصوص  $\rho$  جریان یابد، پدیده جریان غلیظ اتفاق می‌افتد. اگر جرم مخصوص سیال ورودی بیشتر از جرم مخصوص توده ساکن باشد، جریان غلیظ تحتانی شکل می‌گیردشکل 1 که به این جریان‌ها به علت تأثیر شتاب ثقل روی اختلاف جرم مخصوص جریان ثقلی هم گفته می‌شود. با ورود یک جریان رسوب‌دار (سیال سنگین) به محدوده مخزن حاوی سیال ساکن سبک‌تر، رسوبات حمل شده توسط جریان پیوسته در بستر رودخانه نشست می‌کنند. ذرات درشت‌تر در ابتدای ورود به مخزن تنهشین شده، دلتای مخزن را تشکیل می‌دهند. ذرات ریزتر به دلیل سرعت ته نشینی پایین‌تر می‌توانند به صورت معلق در جریان باقی بمانند. جریان همچنان به پیشروی خود در مخزن ادامه می‌دهد تا جایی که سرعت به اندازه‌ای کاهش یافته باشد که اندازه حرکت جریان ورودی با نیروی فشاری ناشی از اختلاف چگالی جریان ورودی و آب ساکن به تعادل رسیده و جریان غلیظ پس از این نقطه به زیر سطح آب ساکن رفته و به حرکت خود ادامه می‌دهد. این نقطه را اصطلاحاً نقطه‌ی غوطه‌وری گویند.

جریان ورودی قبل از تشکیل جریان زیر گذر، تحت تأثیر مومنت است، ولی بعد از غوطه‌وری تحت تأثیر نیروی شناوری می‌باشد. در صورت غوطه‌ور شدن جریان ورودی، حجم ثابتی از آب محیط در ناحیه انتقالی بین نواحی تحت تأثیر مومنت و شناوری وارد جریان می‌شود. ورود آب ساکن محیطی به درون جریان ورودی در ناحیه انتقالی به منظور جدا کردن آن از اختلاط مربوط به ناحیه تحت تأثیر شناوری، اختلاط اولیه نامیده می‌شود. حقی آبی (1383)، شکل 1 رژیم‌های مختلف در جریان‌های غلیظ زیر گذر (تحتانی) را نشان می‌دهد. فرایند اختلاط در جریان غلیظ، در ناحیه بدنی آن با استفاده از مطالعه و بررسی آزمایشگاهی، در گذشته مورد توجه

فراوان قرار گرفته است (Fleenor W. E, 1981) در حالی که اختلاط اولیه (اختلاط در ناحیه‌ی غوطه وری) که طبق مطالعات انجام شده حتی تا ۸۰ درصد از اختلاط کل را تشکیل می‌دهد کمتر بررسی شده است (Ford and Johnson, 1981)



شکل ۱: رژیم‌های مختلف در جریان‌های غلیظ زیر گذر

اختلاط در ناحیه‌ی غوطه‌وری با تغییر ناگهانی عمق جریان ورودی ایجاد می‌گردد. بنابراین اختلاط در ناحیه‌ی غوطه‌وری پیش از این که متأثر از تنفس برشی سیال و یا گرادیان دانسیته باشد، متأثر از جریان چرخشی است که با سقوط سیال سنگین در نقطه‌ی غوطه‌وری در سیال ساکن ایجاد می‌شود.

مشاهده و بررسی جریان‌های غلیظ که در طبیعت رخ می‌دهند بسیار مشکل و دارای مقیاس بزرگ و است. لذا شبیه سازی فیزیکی این پدیده مطمئن‌ترین راهکار برای مطالعه آن می‌باشد.

در جریان غلیظ، برخلاف جریان مجازی روباز، تأثیر ثقل مؤثر روی اختلاف جرم مخصوص علت حرکت می‌باشد. در واقع سیال محیطی تأثیر کاهنده‌ای بر ثقل دارد، رابطه شتاب ثقل مؤثر بصورت زیر می‌باشد:

$$g' = g \frac{(\rho_d + \rho_a)}{\rho_a} \quad (1)$$

که در آن  $g'$ : شتاب ثقل مؤثر،  $g$ : شتاب ثقل عمومی،  $\rho_a$ : جرم مخصوص سیال غلیظ ( $\frac{Kg}{m^3}$ ) و  $\rho_d$ : جرم مخصوص سیال

محیطی می‌باشند. یک پارامتر بسیار مهم در زمینه جریان‌های غلیظ، عددی موسوم به ریچاردسون است که بصورت زیر بیان می‌گردد:

$$Ri = \frac{g \frac{\Delta \rho}{\rho} h}{U_0^2} = (g' h \cos \theta) / U^2 \quad (2)$$

بدلیل وجود لایه‌ی برشی حد فاصل سیال‌های غلیظ و پیرامونی و ناپایداری جریان در این ناحیه، آشفتگی جریان به وجود می‌آید و سیال پیرامونی به داخل سیال غلیظ کشیده شده، باعث رقیق شدن آن می‌شود. از نظر الیسون و ترنر این سرعت عمودی متناسب با سرعت لایه بوده و ضریب این تناسب، کشش جریان غلیظ (EW) نامیده می‌شود. به طور خلاصه می‌توان معادلات یک بعدی،

دائمی ناپایدار بر روی شب S\_f = \sin \theta را بصورت زیر نوشت:

$$\frac{d}{dx}(Uh) = E_w U = W_h \quad (3)$$

$$\frac{d}{dx}(C_s Uh) = V_s(E_s - C_s) \quad (4)$$

$$\frac{d}{dx}(U^2 h) = -\frac{1}{2} g R \cos \theta \frac{d}{dx}(C_s h^2) + (g R C_s h) \sin \theta - u_{*b}^2 \quad (5)$$

که در آن E\_w: ضریب کشش سیال پیرامون، C\_s: ضریب کشش رسوبات، E\_b: غلظت رسوبات نزدیک بستر، R = (\frac{\rho\_s}{\rho\_a}) - 1: ضریب کشش سیال پیرامون،

Ellison t.h, Turner j.s: سرعت برشی بستر، U و C\_s: سرعت و غلظت نقطه‌ای در پروفیل عمقی جریان غلیظ می‌باشند. u\_{\*b}^2: سرعت متوسط بدن جریان غلیظ (U) تعريف می‌شود (1959).

رابطه (3) را می‌توان بصورت تفاضل محدود به شکل زیر نوشت:

$$(E_w)_{j-(j+1)} = \left[ \frac{2}{U_{j+1} + U_j} \right] \left[ \frac{q_{j+1} - q_j}{X_{j+1} - X_j} \right] \quad (6)$$

که در آن j و j+1 بیانگر دو مقطع متواالی می‌باشند. بنابراین شدت اختلاط جریان غلیظ بصورت نسبت سرعت اختلاط (W\_h) به سرعت متوسط بدن جریان غلیظ (U) تعريف می‌شود (Turner, j.s, 1973).

با داشتن مقادیر سرعت متوسط و دبی در واحد عرض در دو مقطع متواالی می‌توان میزان شدت اختلاط را از رابطه (6) به مقاطع متواالی محاسبه نمود. محققان با انجام آزمایش‌های گوناگون بر روی جریان‌های غلیظ با جرم مخصوص‌های متفاوت دریافتند ضریب شدت اختلاط تابعی از عدد ریچاردسون می‌باشد (Ellison, t.h, Turner j.s, 1995).

داده‌های آزمایشگاهی به دست آمده که دارای شرایط جریان، اعداد رینولدز، زبری دیواره‌ها، و شاخص شناوری متنوعی هستند همگی نشان می‌دهند کشش جریان غلیظ دارای یک رابطه با توزیع مناسب با عدد ریچاردسون به صورت زیر است:

$$Ew = a(Ri)^b \quad (7)$$

رابطه‌ی توانی که معمولاً استفاده می‌شود به صورت زیر است (Ashida, K., Egashira, S., 1995).

$$E = 0.0015 Ri^{-1} \quad (8)$$

رابطه مشابهی به صورت زیر ارائه دادند (Hebbert, et al., 1979):

$$E = 0.0028 Ri^{-12} \quad (9)$$

آزمایش‌هایی روی جریان‌های غلیظ رسوب‌گذار انجام دادند. آن‌ها با انجام آزمایش‌هایی روی بدنۀ جریان غلیظ و استفاده از داده‌های (Parker, G Fukushima, Y., 1989) سایر محققین پیشین رابطه‌ای را برای شدت اختلاط ارائه کردند. این رابطه چنین است:

$$E_w = \frac{0.075}{(1 + 718Ri^{2.4})^{0.5}} \quad (10)$$

قاسمی (1386) با مقایسه مقدار اختلاط کل (مجموع شدت اختلاط در ناحیه‌ی غوطه‌وری و بدنۀ جریان) با اختلاط مربوطه به بدنۀ نشان داد در بعضی شرایط مقدار اختلاط کل تا دو برابر شدت اختلاط بدنۀ نیز می‌رسد.

بهرامی (1387) با انجام آزمایش‌هایی دریافت که شدت اختلاط بدنۀ جریان تابع مستقیمی از شیب است. در جدول ۱ روابط ارائه شده برای کشنش بدنۀ جریان توسط محققان پیشین آمده است. همان‌طور که مشاهده می‌گردد بیشتر تحقیقاتی که در گذشته در ارتباط با بررسی شدت اختلاط در جریان غلیظ صورت گرفته است، مربوط به بدنۀ جریان بوده و عموماً مقدار شدت اختلاط را فقط تابعی از عدد ریچاردسون معرفی کرده‌اند. در حالی که هدف از انجام این تحقیق بررسی شدت اختلاط در ناحیه‌ی غوطه‌وری (اختلاط اولیه) و بررسی تأثیر شیب کف بر مقدار آن می‌باشد.

جدول ۱: تعدادی از روابط بدست آمده برای محاسبه شدت اختلاط توسط محققین مختلف

نام محقق	سال ارائه	رابطه ارائه شده	شیب (درصد)	نوع جریان غلیظ	ملاحظات
Ashida, Egashira	۱۹۷۵	$E_w = 0.0015 / Ri$	۰/۶	رسوبی و محلول	
Fukushima et.al	۱۹۸۵	$E_w = 0.00153 / (0.0204 Ri)$		رسوبی	
Parker et al	۱۹۸۷	$E_w = \frac{0.0075}{(1 + 718Ri^{2.4})^{0.5}}$	۸	رسوبی	
Chikita	۱۹۹۰	$E_w = 0.0087 \exp(-0.106 / Ri)$	۱/۴	رسوبی	
Ghomeshi	۱۹۹۵	$E_w = \frac{0.0024}{Ri^{1.06}}$	۰/۶۲۵	رسوبی و محلول	
Haghiabi	۲۰۰۴	$E_w = 0.0023(Ri)^{-1.0243}$	۰ - - / ۰۰۳	رسوبی و محلول	
Karamzadeh	۲۰۰۵	$E_w = 0.0021(Ri)^{-1.1238}$	۰/۰۰۲ - - / ۰۳	محلول	
Ghasemi	۲۰۰۷	$E_w = 0.0017(Ri)^{-1.042}$	۰/۰۰۵ - - ۰/۰۲	محلول	
Torabi	۲۰۰۷	$E_w = 0.0033(Ri)^{-0.9301}$	۰/۰۰۲ - ۰/۰۳۱	محلول	
Moradi	۲۰۱۱	$E_w = 0.0038 / (Ri)^{0.47}$	۰/۰۰۹ - - ۰/۰۱۶	محلول	

## مواد و روش‌ها:

این تحقیق در یک فلوم به طول ۹/۲۵ متر، عرض ۵۰ سانتیمتر و ارتفاع ۷۵ سانتیمتر در آزمایشگاه هیدرولیک دانشکده مهندسی علوم آب دانشگاه شهید چمران اهواز انجام شد. در شکل ۲ نمایی از این فلوم و تجهیزات جانبی آن نشان داده شده است. در این آزمایش ابتدا توسط پمپ مخلوط جریان غلیظ به مخزن جریان غلیظ با ارتفاع ثابت منتقل می‌شود. در حالتی که دریچه انتهایی بسته است فلوم تا ارتفاع دلخواه از آب زلال که بعنوان آب ساکن مورد استفاده قرار می‌گیرد پر می‌شود. سپس شیر و روودی جریان غلیظ به اندازه دبی مورد نظر باز می‌شود تا مخزن پشت دریچه تا ارتفاعی برابر آب زلال داخل مخزن از سیال غلیظ پر شود. پس از اینکه سطح سیال غلیظ پشت دریچه با سطح آب ساکن داخل فلوم برابر می‌شود، دریچه باز می‌شود تا مخلوط آب غلیظ به درون آب ساکن جریان یابد و پدیده جریان غلیظ اتفاق افتد، جهت ثابت نگه داشتن سطح آب در طول انجام آزمایش، جریان آب زلال در انتهای فلوم ابتدا وارد یک حوضچه آرامش که در آن قسمت تعییه شده می‌شود و متعاقباً به آرامی وارد فلوم می‌گردد، پس از وقوع

کامل پدیده، اقدام به اندازه‌گیری پروفیل سرعت در محل فروروی و نیز در انتهای ناحیه‌ی غوطه‌وری توسط دستگاه سرعت‌سنج DOP2000 که به روش آکوستیک این اندازه‌گیری را انجام می‌دهد می‌شد. ارتفاع و سرعت متوسط جریان غلیظ توسط روابط الیسون و ترنر (1959) و با انتگرال‌گیری از پروفیل سرعت صورت زیر محاسبه می‌شوند:

$$Uh = \int_0^{\infty} u h dz = \int_0^h u dz = \bar{U} h_t = q \quad (11)$$

$$U^2 h = \int_0^{\infty} u^2 h dz = \int_0^h u^2 dz = \beta_u \bar{U}^2 h_t \quad (12)$$

که در آن:  $u$ : سرعت نقطه‌ای جریان،  $h$ : ارتفاعی است که در آن سرعت  $u$  برابر با صفر است،  $\bar{U}$ : سرعت متوسط جریان غلیظ،  $\beta_u$ : ضریب توزیع سرعت می‌باشد. با محاسبه جرم مخصوص دو سیال غلیظ و ساکن (آب شهری)، مقدار  $g$  از رابطه (1) محاسبه شد. با داشتن مقدار سرعت متوسط جریان و ارتفاع آن و نیز مقدار  $g$  عدد ریچاردسون هر مقطع محاسبه گردید. میانگین عدد ریچاردسون در ابتدا و انتهای ناحیه‌ی غوطه‌وری، به عنوان عدد ریچاردسون ناحیه‌ی غوطه‌وری در نظر گرفته شد. با محاسبه شدت اختلاط از رابطه (3) یا (6) و مقایسه با عدد ریچاردسون می‌توان ارتباط این دو را مورد بررسی قرار داد. برای بررسی ارتباط مقدار شدت اختلاط با دو پارامتر عدد ریچاردسون و شب (به طور همزمان) از نرم افزار SPSS استفاده گردید. این تحقیق در 3 شب (8%) و 4 غلظت (جرم مخصوص‌های 1006، 1009، 1013 و 1016 کیلوگرم بر مترمکعب) و دبی‌های ورودی متفاوت انجام شد.

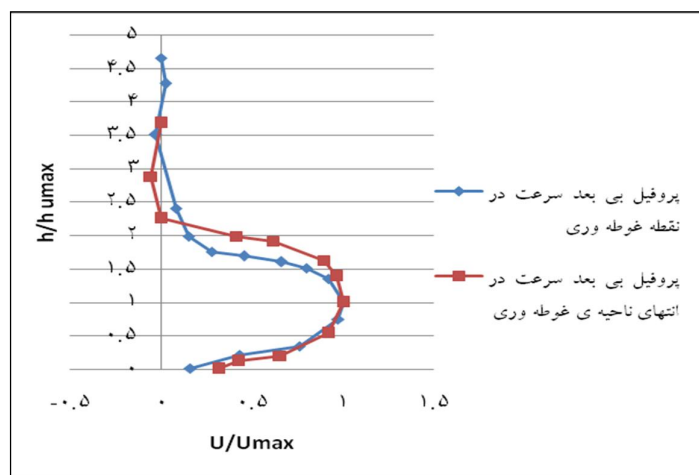


شکل 2: نمایی از مدل فیزیکی مورد استفاده برای این تحقیق

## نتایج و بحث:

## پروفیل سرعت

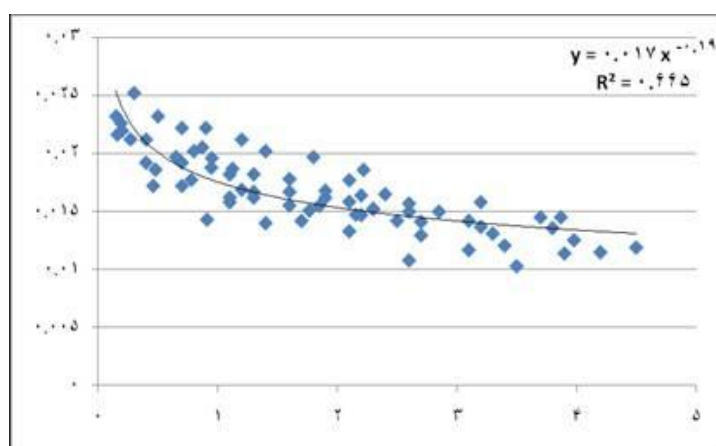
برای بررسی شدت اختلاط در جریان غلیظ، لازم است سرعت متوسط جریان با دقت مناسب محاسبه شود. برای این منظور، ابتدا پروفیل سرعت به روش اکوستیک برداشت شد. در نمودار نشان داده شده در شکل ۳ نمونه‌ای از پروفیل‌های بی بعد سرعت در ابتدا و انتهای ناحیه‌ی غوطه‌وری نشان داده شده است. همان‌طور که در این شکل مشخص است، ارتفاع جریان در انتهای ناحیه‌ی غوطه-وری کمتر از ارتفاع آن در نقطه‌ی غوطه‌وری می‌باشد.



شکل ۳: نمونه‌ای از پروفیل‌های بی بعد سرعت در ابتدا و انتهای ناحیه‌ی غوطه‌وری

## محاسبه شدت اختلاط در ناحیه غوطه‌وری:

در تحقیق حاضر رابطه بین کشش در ناحیه‌ی غوطه‌وری جریان غلیظ (اختلاط اولیه) و عدد ریچاردسون با استفاده از نتایج آزمایشگاهی بدست آمده است. در شکل ۴ رابطه بین این دو پارامتر برای کل داده‌های آزمایشگاهی نشان داده شده است.



شکل ۴: رابطه بین شدت اختلاط و عدد ریچاردسون در ناحیه‌ی غوطه‌وری

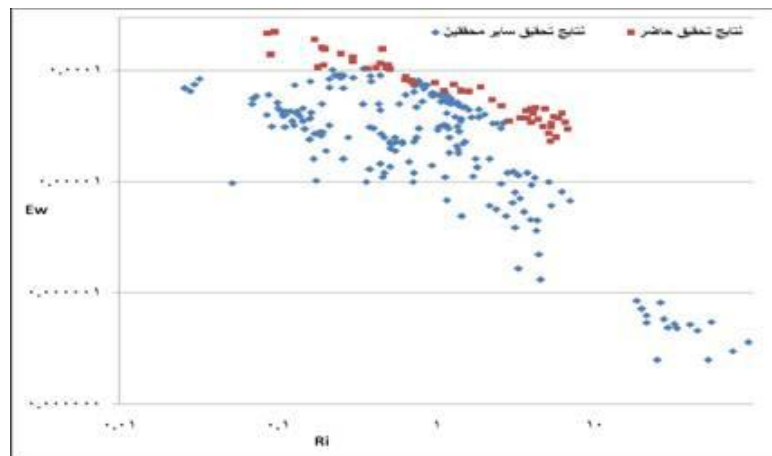
از شکل ۴ رابطه بین مقدار کشش و عدد ریچاردسون به صورت زیر نتیجه می‌شود:

$$R^2 = 0.67 \quad (13)$$

$$E_W = 0.17 Ri^{-0.196}$$

و در شکل ۵ مقایسه بین شدت اختلاط به دست آمده برای آزمایش‌ها این تحقیق با نتایج بررسی سایر محققان را در مقیاس نیمه لگاریتمی نشان می‌دهد. همانگونه که از این شکل قابل مشاهده است مقادیر شدت اختلاط مربوط به این تحقیق به مقدار قابل ملاحظه‌ای با نتایج سایرین بزرگتر به دست آمده است. لازم به ذکر است تحقیقات گذشته اکثراً بر بررسی شدت اختلاط در بدنه جریان غلیظ که جریان به پایداری و ثبات نسبی رسیده است متمرکز بوده است. در حالی که در این تحقیق بررسی شدت اختلاط در ناحیه‌ی غوطه‌وری جریان غلیظ مدنظر بوده است. اختلاف فاحش به وجود آمده بین مقادیر این تحقیق با مقادیر به دست آمده توسط سایر محققان، با وجود

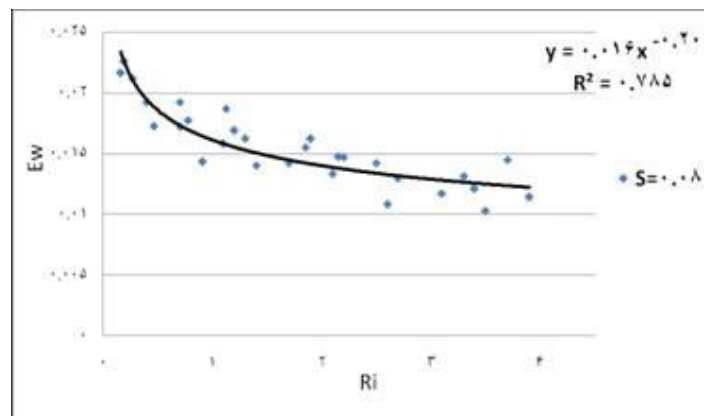
طول کم این ناحیه، علاوه بر تنوع برشی ناحیه‌ی بینایی‌نی و گرادیان چگالی، می‌تواند متأثر از وجود چرخشی در این ناحیه باشد که به علت داشتن خطوط سرعت غیر موازی در قبل و بعد از نقطه غوطه‌وری با قدرت زیاد، سیال ساکن را به سمت خود می‌کشاند.



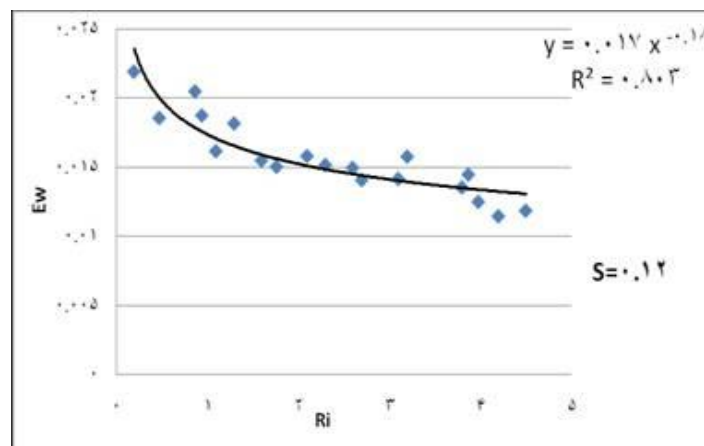
شکل ۵: مقایسه داده‌های این تحقیق با نتایج سایر محققین

#### بررسی تغییرات $E_w$ با $Ri$ ناشی از تغییرات شیب

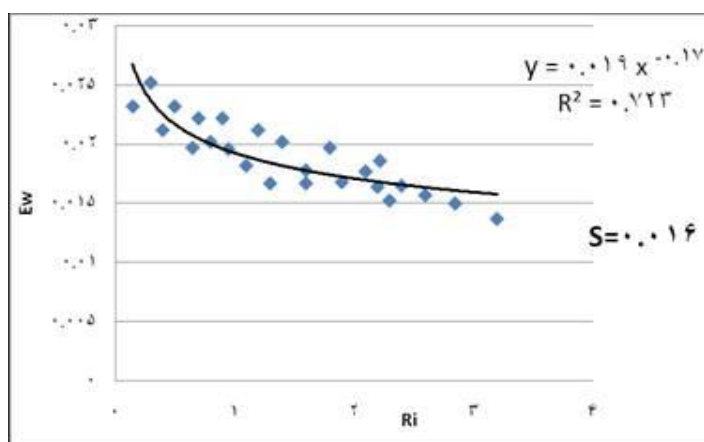
جهت بررسی تأثیر شیب کف بر روی پارامتر شدت اختلاط، اقدام به دسته‌بندی داده‌ها براساس شیب کف جریان غلیظ ورودی شد؛ سپس تغییرات شدت اختلاط مربوط به هر شیب، نسبت به عدد ریچاردسون بررسی گردید. چنانچه تغییرات  $E_w$  با  $Ri$  در شیب‌های متفاوت ترسیم گردد، روند تغییرات مطابق اشکال ۶ تا ۸ خواهد بود. در شکل ۹ نیز مقادیر شدت اختلاط برای هر سه شیب نشان داده شده است.



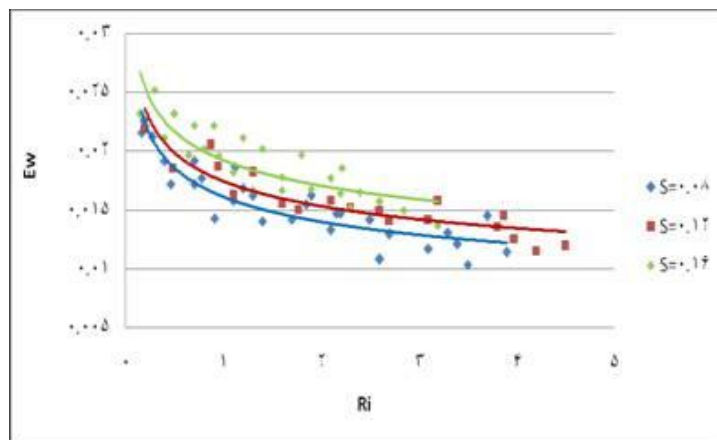
شکل 6: رابطه شدت اختلاط و عدد ریچاردسون در ناحیه‌ی غوطه‌وری در 0/08



شکل 7: رابطه شدت اختلاط و عدد ریچاردسون در ناحیه‌ی غوطه‌وری در 0/012



شکل 8: رابطه شدت اختلاط و عدد ریچاردسون در ناحیه‌ی غوطه‌وری در 0/016

شکل ۹: تأثیر تغییر شیب در روند تغییرات  $E_w$  با  $Ri$  در جریان غلیظ

اشکال ۶ تا ۹ نشان می‌دهند، در شرایط اولیه یکسان، با افزایش شیب بر میزان شدت اختلاط افزوده می‌گردد. بنابراین عامل شیب نیز می‌تواند به عنوان یکی دیگر از پارامترهایی باشد که بر شدت اختلاط اثر بگذارد. در جدول زیر ضرایب معادله (7) و ضریب همبستگی آنها برای شیب‌های مختلف به صورت مجزا محاسبه شده است.

جدول ۲: ضرایب معادلات شدت اختلاط بر اساس معادله (7)

$R^2$	b	a	S%	Inflow type
0.78	-0.20	0.016	8	Slope
0.803	-0.18	0.01	12	
0.72	-0.17	0.019	16	
0.665	-0.19	0.017		Total saline data

چنانچه شدت اختلاط تابعی از شیب و عدد ریچاردسون در نظر گرفته شود، رابطه حاکم بر کلیه داده‌ها را می‌توان با استفاده از تحلیل آماری و رگرسیون غیرخطی در نرم افزار SPSS بصورت زیر تعریف نمود:

$$E_w = 0.03(Ri)^{-0.178} (S)^{0.252} \quad R^2 = 0.82 \quad (14)$$

که در رابطه فوق  $S$  مقدار شبکه (بر حسب  $m/m$ ) می‌باشد. بنابراین همانطور که مشاهده می‌شود پارامتر شبکه نیز باعث افزایش دقیق محاسبه شدت اختلاط می‌گردد. این نتیجه گیری می‌تواند به علت استفاده از شبکه‌های تند در این آزمایشات و همچنین به علت محاسبه شدت اختلاط مربوط به ناحیه‌ی غوطه‌وری باشد که در این ناحیه هر قدر مقدار شبکه بیشتر باشد، عامل مومنتم بیشتر است و در نتیجه به علت افزایش مولفه عمودی سرعت جریان غلیظ مقدار ( $dh/dx$ ) بیشتر بوده و لذا اثر جریان‌های چرخشی در اختلاط آب ساکن بیشتر است. به عبارت دیگر با افزایش شبکه، شیرجه‌ی جریان غلیظ به زیر آب ساکن شدیدتر بوده و بنابراین با قدرت بیشتری می‌تواند آب ساکن را به درون خود بکشاند.

### نتیجه گیری

در این تحقیق رابطه بین شدت اختلاط جریان غلیظ زیرگذر و عوامل موثر، در آزمایشگاه مورد بررسی قرار گرفت. ابتدا رابطه شدت اختلاط و عدد ریچاردسون که خود تابعی از سرعت متوسط و جرم مخصوص و ارتفاع جریان می‌باشد مورد بررسی قرار گرفت. نتایج این تحقیق نشان می‌دهد در ناحیه‌ی غوطه وری نیز همانند بدنه جریان یک رابطه توانی به صورت زیر برقرار است:

$$Ew = 0.017 Ri^{-0.196} \quad (15)$$

برای ارزیابی اثر شبکه کف بر میزان کشش، شکل کشش در هر شبکه ترسیم و با مقایسه آنها، افزایش مقدار شدت اختلاط با افزایش شبکه مشاهده شد. لذا با انجام تحلیل آماری و رگرسیون غیرخطی در نرمافزار SPSS نهایتاً رابطه مربوطه به صورت رابطه زیر استخراج گردید:

$$Ew = 0.03(Ri)^{-0.178}(S)^{0.252} \quad (16)$$

منابع:

اورک مندنی زاده، م. و خانجانی، م. ج. (1387). بررسی آزمایشگاهی جریان‌های غلیظ رسوبی در مخازن سدها. هفتمین کنفرانس هیدرولیک ایران، دانشگاه شهید عباسپور، تهران، ایران، ص. 21-23.

بهرامی، ح. (1388). بررسی پدیده پرش هیدرولیکی در جریان‌های غلیظ. رساله دکتری سازه‌های آبی. دانشکده علوم آب، دانشگاه شهید چمران اهواز ص. 28-59.

ترابی پوده، ح. (1387). بررسی جریان‌های غلیظ در همگرایی‌ها و واگرایی‌ها. رساله دکتری سازه‌های آبی. دانشکده علوم آب، دانشگاه شهید چمران اهواز. ص. 245-352.

حقی آبی، ا. (1383). بررسی اثر شبکه کف بر پروفیل‌های سرعت و غلظت جریان‌های غلیظ. رساله دکتری سازه‌های آبی. دانشکده علوم آب، دانشگاه شهید چمران اهواز. ص. 79-86.

شهنی کرم زاده، ن. (1383). بررسی آزمایشگاهی کشش آب ساکن در جریان‌های غلیظ. پایان نامه کارشناسی ارشد سازه‌های آبی. دانشکده علوم آب، دانشگاه شهید چمران اهواز. ص. 45-87.

قمشی، م. (1376). بررسی آزمایشگاهی حرکت جریان‌های غلیظ. مجموعه مقالات اولین کنفرانس هیدرولیک ایران. ص 260-249.

کوتی، ف. (1389). بررسی کشش آب ساکن به درون راس جریان‌های غلیظ. نهمین کنفرانس هیدرولیک ایران. دانشگاه تربیت مدرس، تهران. ص. 24-25.

مرادی، ا. (1390). مطالعه آزمایشگاهی کشش آب ساکن توسط جریان‌های غلیظ در کانال‌های همگرا. پایان نامه کارشناسی ارشد سازه‌های آبی. دانشکده علوم آب، دانشگاه شهید چمران اهواز. ص. 76-82.

**Alavian, v. Et all. (1992).** density current entering lakes and reservoirs, journal of engineering. , 63. (55), pp: 1464–1489.

**Altenakar, m. (1988).** Weakly Depositing Turbidity Currents On Small Slopes. Ph.D thesis, University of EPFL, Switzerland.

**Ashida, K., Egashira ,S. (1995).** Basic study on turbidity currents. Proceedings of Japan Society of -Civil Engineers, Tokyo, Vol. 237, pp:37 - 50, 1975.

**Chikita, K. (1990)** .Sedimentation by river – induced Turbidity currents. field measurements and Interpretation. Sedimentology, vol. 37, pp. 891 - 905.

**Daly, R.A. (1936).** Origin of submarine canyons. American Journal of Science, vol. 31, pp:401-420.

**Ellison ,t.h., Turner, j.s. (1959).** Turbulent Entrainment In Stratified Flow. Journal of Fluid Mechanics. Vol. 6, No. 3, pp: 423.

**Fleenor, w. E. (2001).** Effects and control of plunging inflow on reservoir, hydrodynamics and downstream releases. Edl. Engr. Ucdavis. Edu. Dissertation-fleenor. pdf.

**Fukushima y., Parker G., Pantin H.M.(1985).** Prediction of ignitive turbidity currents in Scripps submarine canyon, Marine Geology, vol.67, pp:55-8.

**Ford, d.e and Johnson , m.c. (1981).** Field observation of density currents in impoundment. Asce proceedings, symposim on surface water impoundments, minneapolis, mn.,pp: 1239-1248.

**Ghomeshi, M. (1995).** Reservoir sedimentation modeling, Ph.D. Thesis, University of Wollongong, Australia.

**Hebbert, b. et al. (1979).** Collie river underflow into the wellington reservoir. Proceeding of asce. vol. 105, on. Hy5, pp:533-545.

**Hosseini et al. (2005).** Synchronous measurements of the velocity and concentration in low Density turbidity currents using an Acoustic Doppler Velocimeter. *Flow Measurement and Instrumentation*, 17, pp:59-68.

**Parker G, et al. (1987).** Experiments on turbidity currents over an erodible bed. *Journal of Hydraulic Research*, Vol. 25, No. 1.

**Turner, J.S. (1973).** Buoyancy effects in fluids, Cambridge University Press, Cambridge, England